

Laboratorio 1 - Control Automático II - Ing. Electrónica

Ignacio Nahuel Chantiri 69869/1
Thomas Jorge Sille 68373/6
Universidad Nacional De La Plata, Argentina.

I. INTRODUCCIÓN

El laboratorio se centra en la implementación de la técnica de control por realimentación de estados.

II. MARCO TEÓRICO

II-A. Identificación de Bloques y sus funciones de transferencia.

Se presenta a continuación el circuito con los distintos bloques identificados.

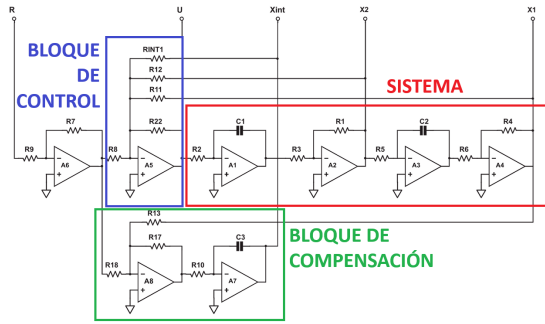


Fig. 1. Diagrama del circuito con los distintos bloques identificados

- **Sistema:** Compuesto por dos integradores. Para compensar la inversión asociada a la etapa de integración, se utilizan también dos inversores, uno a la salida de cada integrador. Tiene como entrada U , y X_1 como salida.

$$\begin{cases} X_2 = \frac{U}{C_1 R_2 s} \\ X_1 = \frac{U}{(C_1 R_2 s)(C_2 R_5 s)} \end{cases}$$

Se obtiene:

$$\frac{X_1}{U} = \frac{1}{(C_1 R_2)(C_2 R_5)s^2} \quad (1)$$

Reemplazando por los valores reales, y teniendo en cuenta que $R_2 C_1 = R_5 C_2$:

$$\frac{X_1}{U} = \frac{10,000}{s^2} \text{ [seg}^2\text{]} \quad (2)$$

- **Bloque de control:** Lo compone un sumador con una ganancia distinta para cada valor de entrada. Su salida es U , y sus entradas, X_1 , X_2 y X_{int}

$$U = R - \frac{R_{22}}{R_{int}} X_{int} - \frac{R_{22}}{R_{12}} X_2 - \frac{R_{22}}{R_{11}} X_1 \quad (3)$$

Expresado de este modo, quedan en evidencia las 3 distintas transferencias del bloque, dependiendo de cada entrada.

- **Bloque de compensación:** El bloque resta el valor de referencia $-R$ con la salida X_1 , y luego integra esta diferencia o error. Su salida es X_{int} .

$$X_{int} = \frac{-(R - X_1)}{s R_{10} C_3} \quad (4)$$

II-B. Bloques y sus sistemas de variables de estado

El sistema representado por sus variables de estado $x = (x_1, x_2)$, se halla expresado en la forma:

$$\begin{aligned} \dot{x} &= Ax + BU \\ y &= Cx + DU \end{aligned}$$

Para el bloque *Sistema*, las matrices correspondientes son:

$$A = \begin{bmatrix} 0 & \frac{1}{R_5 C_2} \\ 0 & 0 \end{bmatrix}, \quad B = \begin{bmatrix} 0 \\ \frac{1}{R_2 C_1} \end{bmatrix}, \quad C = \begin{bmatrix} 0 & 1 \end{bmatrix}, \quad D = 0$$

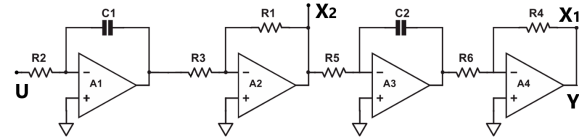


Fig. 2. Diagrama del bloque Sistema

Para el bloque de *Compensación*, teniendo en cuenta que el bloque inversor tiene ganancia 1, obtenemos un sistema de una sola variable de estado, X_{int} . Para un entendimiento más claro, se decidió representar el sistema no en forma matricial, sino como ecuación diferencial:

$$\frac{dX_{int}}{dt} = \frac{R}{R_{10} C_3} - \frac{Y}{R_{10} C_3} \quad (5)$$

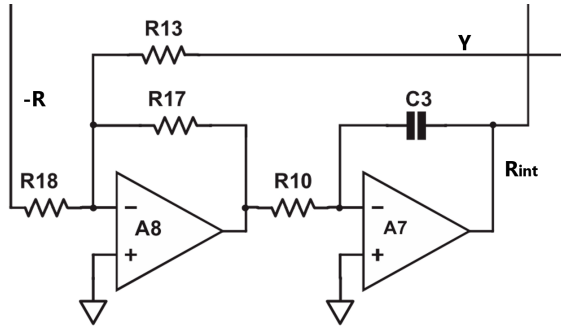


Fig. 3. Diagrama del bloque de compensación de error

II-C. Análisis de Controlabilidad

Previamente obtuvimos las matrices A y B:

$$A = \begin{bmatrix} 0 & \frac{1}{R_5 C_2} \\ 0 & 0 \end{bmatrix}, \quad B = \begin{bmatrix} 0 \\ \frac{1}{R_2 C_1} \end{bmatrix},$$

Llevándolas a la Forma Canónica Controlable mediante el cambio de variables $x_1 = x_1 R_5 C_2$, $x_2 = x_2 R_5 C_5$, (corregir) resulta:

$$A = \begin{bmatrix} 0 & 1 \\ 0 & 0 \end{bmatrix}, \quad B = \begin{bmatrix} 0 \\ 1 \end{bmatrix}, \quad C = \begin{bmatrix} 0 & \frac{1}{(RC)^2} \end{bmatrix}, \quad D = 0$$

Se evidencia ahora la controlabilidad del sistema, pues las ecuaciones de estado son:

$$\begin{aligned} \dot{x}_1 &= x_2 \\ \dot{x}_2 &= U \end{aligned}$$

Donde la entrada U controla \dot{x}_2 , por lo que controla x_2 . A su vez, x_2 controla \dot{x}_1 , por lo que también controla x_1 . De esta manera, se accede a todas las variables de estado mediante la entrada U , lo que demuestra la controlabilidad del sistema.

II-D. Análisis de Observabilidad

Podemos obtener la Forma Canónica Observable partiendo de la forma Canónica Controlable, sabiendo que

$$\begin{aligned} A_c^T &= A_o \\ B_c^T &= C_o \end{aligned}$$

Donde el subíndice c indica forma controlable y o forma observable. De esta forma obtenemos A_o y C_o , presentados a continuación:

$$A = \begin{bmatrix} 0 & 0 \\ 1 & 0 \end{bmatrix}, \quad C = \begin{bmatrix} 0 & 1 \end{bmatrix}$$

Y las ecuaciones de estado son:

$$\begin{aligned} \dot{x}_2 &= x_1 \\ y &= x_2 \end{aligned}$$

El análisis de observabilidad es análogo, mediante Y . La salida Y es observable, por lo que x_2 es observable. Al ser x_2 conocida, también lo es \dot{x}_2 . Finalmente, a través de \dot{x}_2 observamos x_1 .

II-E. Autovalores, polos de lazo abierto del sistema

Los autovalores de lazo abierto del sistema pueden obtenerse hallando las soluciones de la ecuación característica:

$$\det(A - \lambda I) = 0$$

Pues la matriz A es conocida. Desarrollando, se obtiene:

$$\lambda_{1,2} = 0$$

Esto se condice con la existencia de un polo doble en el origen, que se aprecia fácilmente en la *función de transferencia del sistema* (2).

La posición de los autovalores, es decir, de los polos, podría ser verificada en la práctica con un barrido de frecuencia.